

FLAVONOIDES E SESQUITERPENOS DE *Croton pedicellatus* Kunth.[#]

Elton Luz Lopes, Manoel Andrade Neto, Edilberto Rocha Silveira e Otilia Deusdênia Loiola Pessoa*

Departamento de Química Orgânica e Inorgânica, Universidade Federal do Ceará, CP 12200, 60971-270 Fortaleza – CE, Brasil

Raimundo Braz Filho[&]

Departamento de Química, Universidade Estadual do Norte Fluminense, 28013-602 Campos dos Goytacazes – RJ, Brasil

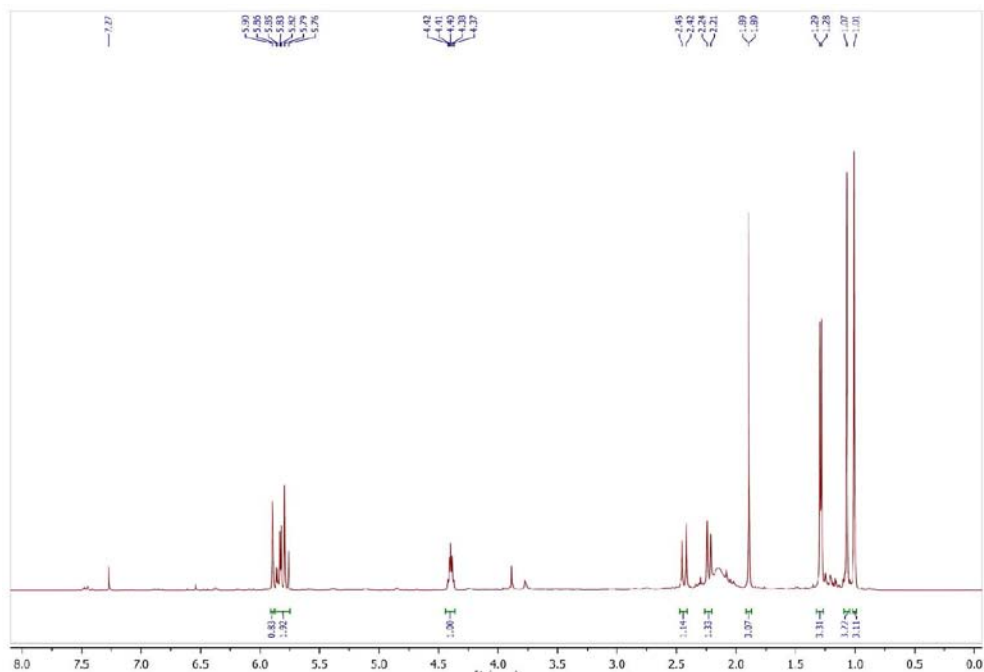


Figura 1S. Espectro de RMN ¹H (500 MHz, CDCl₃) de 3

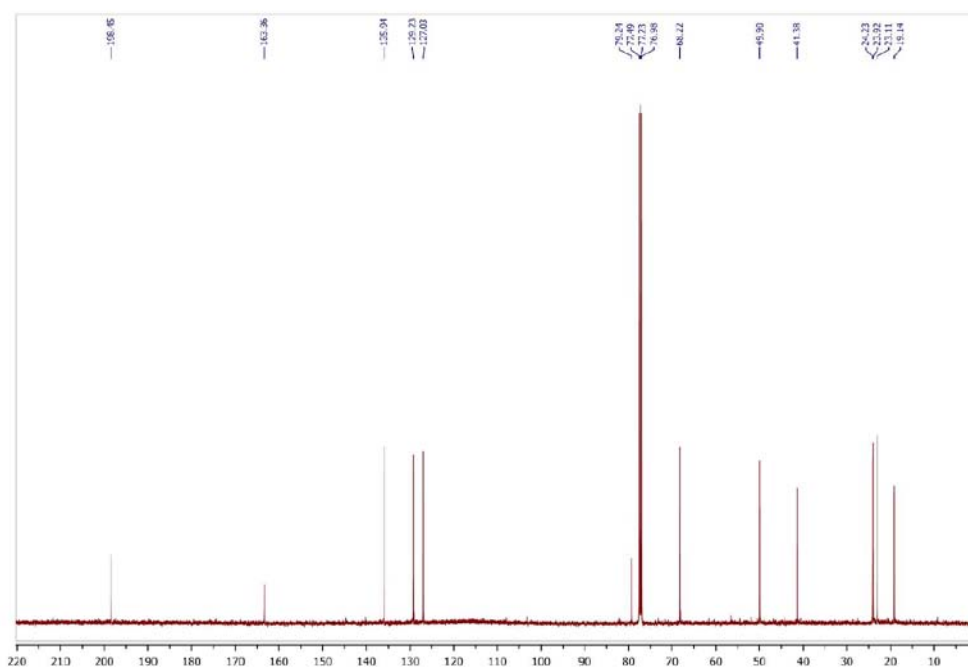


Figura 2S. Espectro de RMN ¹³C (125 MHz, CDCl₃) de 3

*e-mail: opessoa@ufc.br

[#]Artigo em homenagem ao Prof. Otto R. Gottlieb (31/8/1920-19/6/2011)

[&]Professor visitante emérito – FAPERJ/UENF/UFRRJ

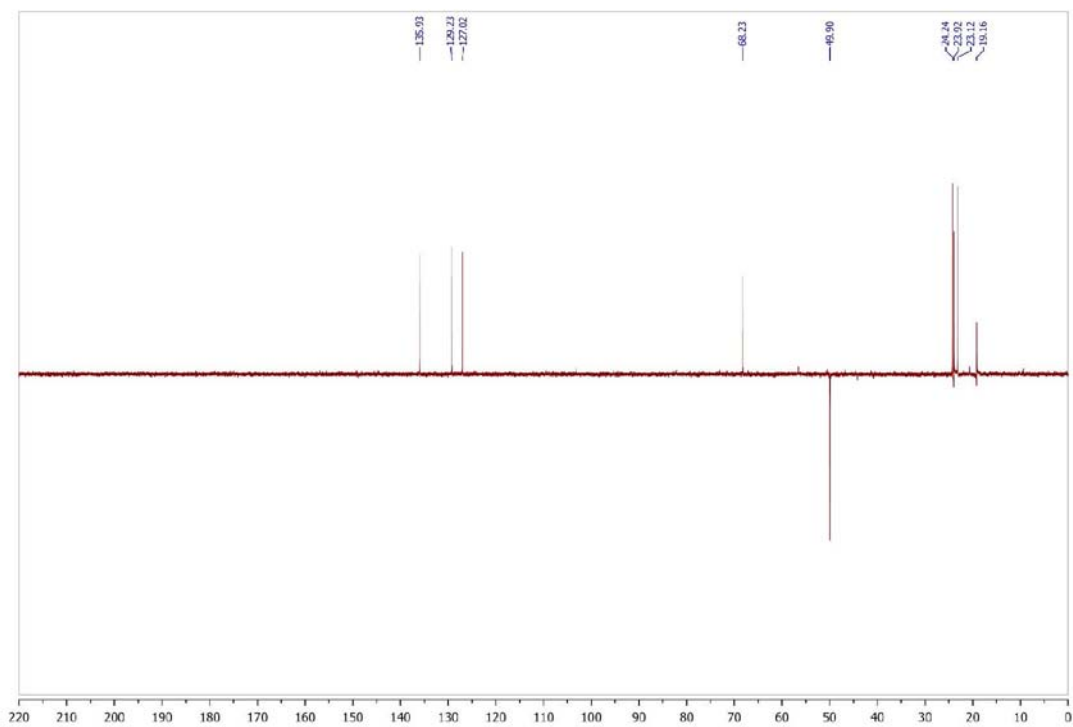


Figura 3S. Espectro de RMN ^{13}C – DEPT 135 (125 MHz, CDCl_3) de **3**

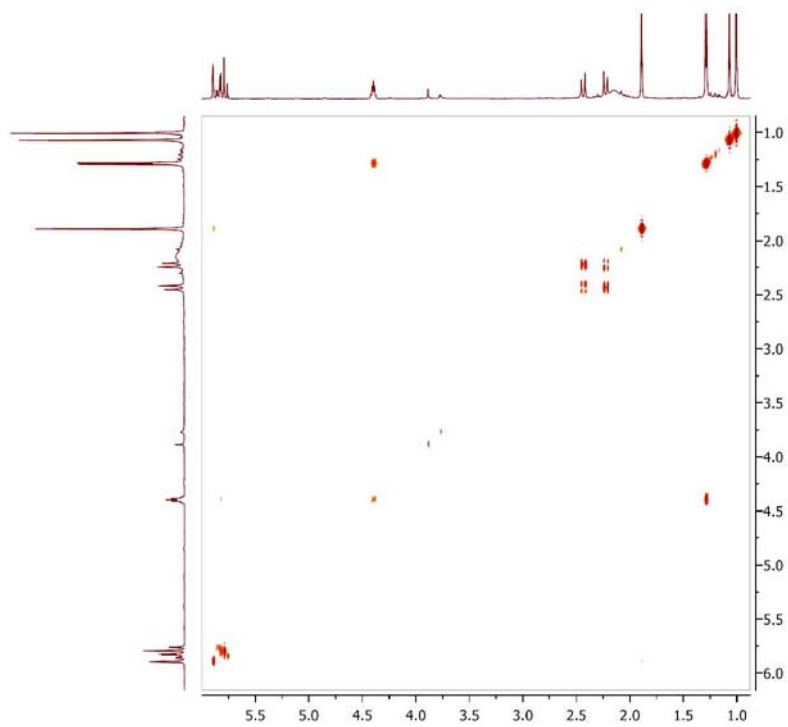


Figura 4S. Espectro de COSY (500 MHz, CDCl_3) de **3**

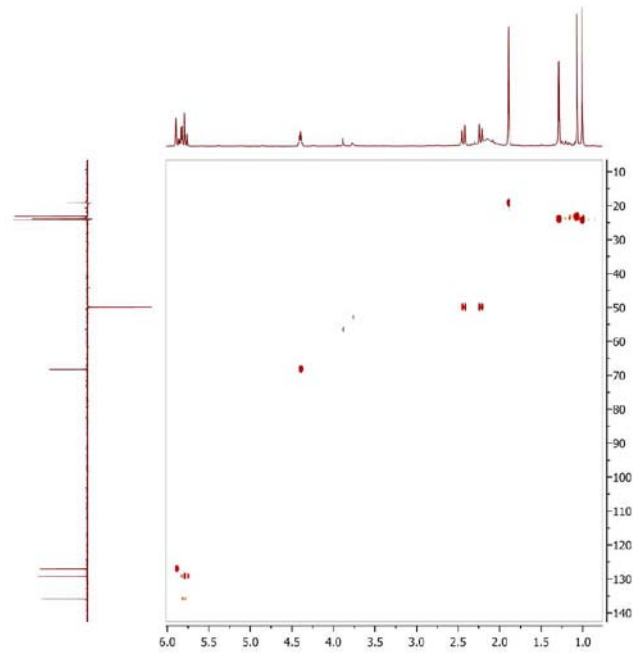


Figura 5S. Espectro de HSQC (500/125 MHz, $CDCl_3$) de **3**

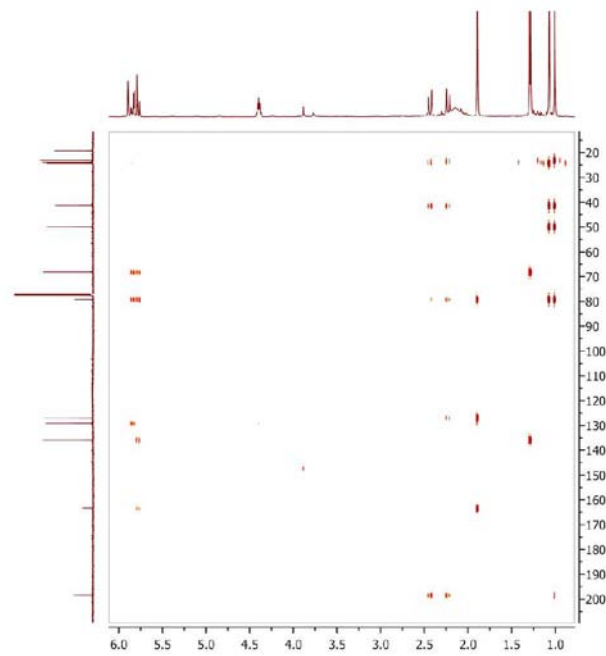


Figura 6S. Espectro de HMBC (500/125 MHz, $CDCl_3$) de **3**

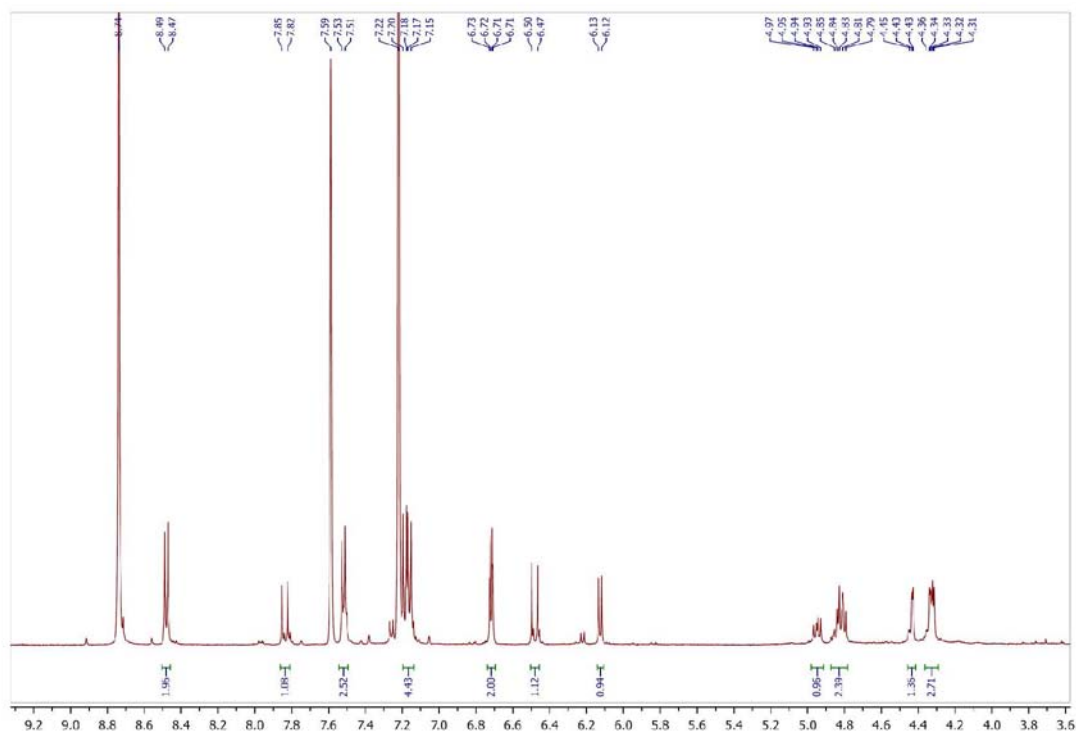


Figura 7S. Espectro de RMN ^1H (500 MHz, $\text{C}_3\text{D}_3\text{N}$) de **5**

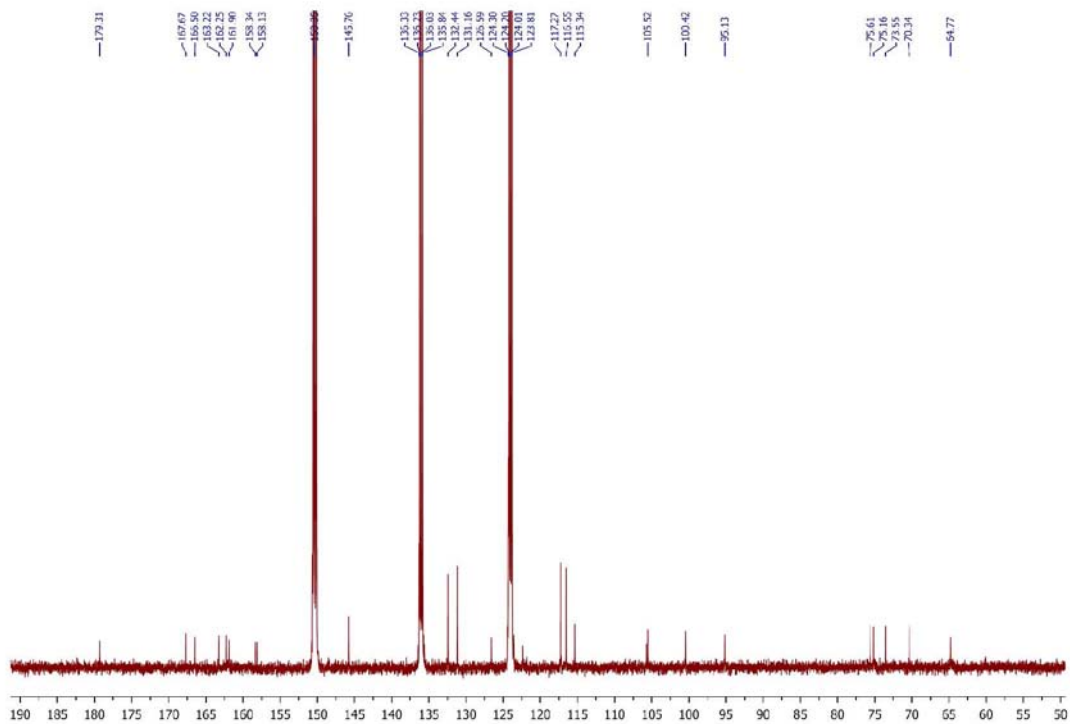


Figura 8S. Espectro de RMN ^{13}C (125 MHz, $\text{C}_3\text{D}_3\text{N}$) de **5**

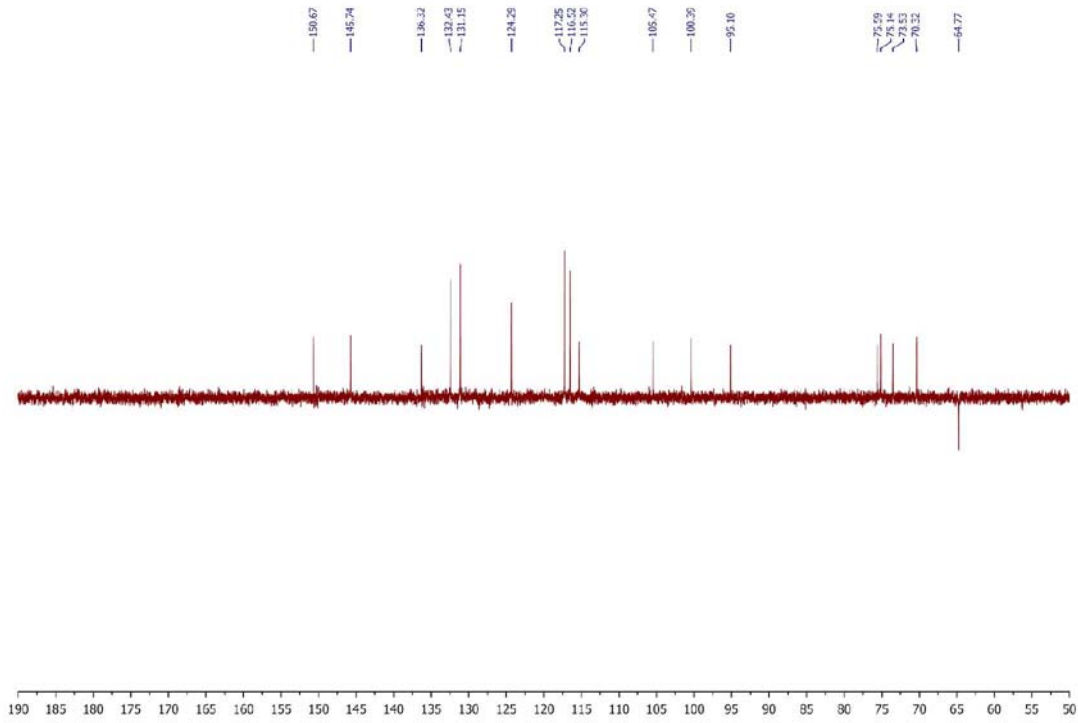


Figura 9S. Espectro de RMN ^{13}C – DEPT 135 (125 MHz, $\text{C}_3\text{D}_3\text{N}$) de 5

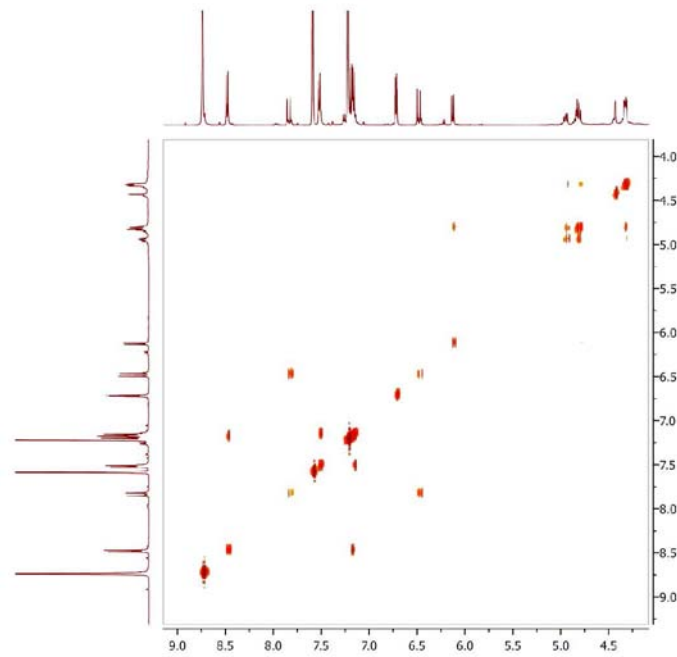


Figura 10S. Espectro de COSY (500 MHz, $\text{C}_3\text{D}_3\text{N}$) de 5

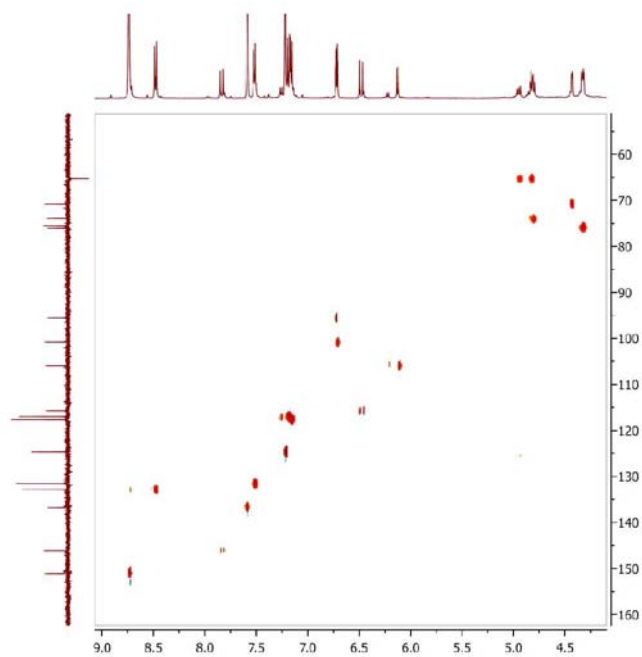


Figura 11S. Espectro de HSQC (500/125 MHz, C_5D_5N) de 5

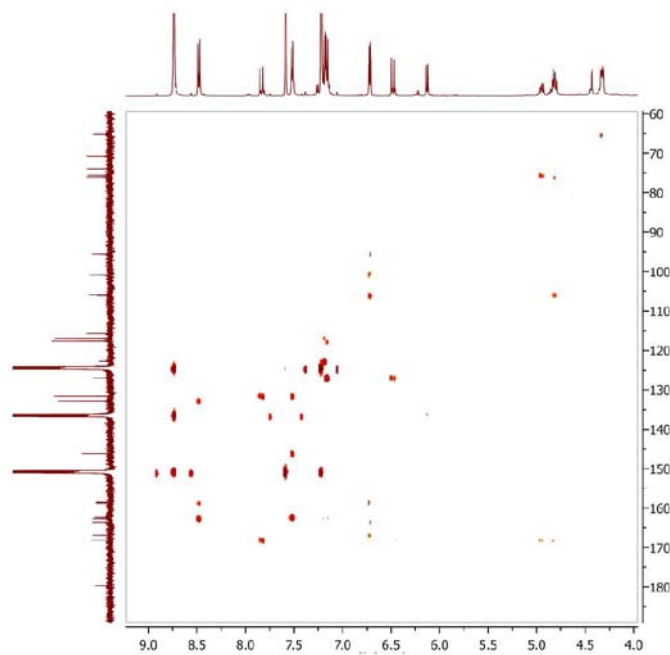


Figura 12S. Espectro de HMBC (500/125 MHz, C_5D_5N) de 5

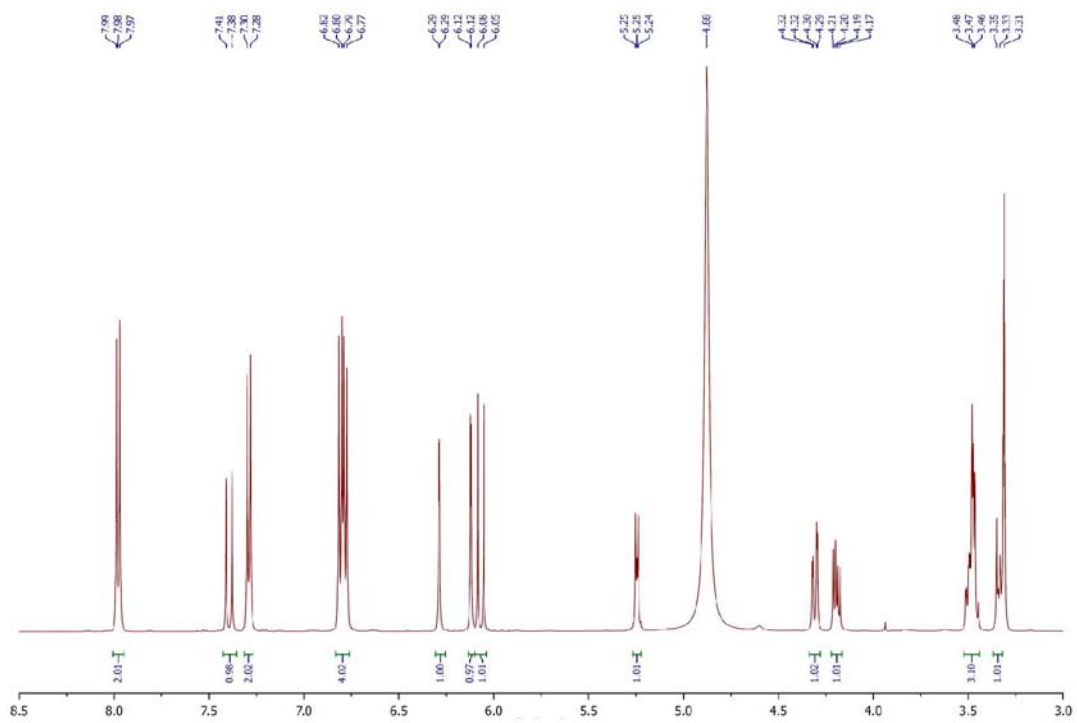


Figura 13S. Espectro de RMN ^1H (500 MHz, CD_3OD) de **6**

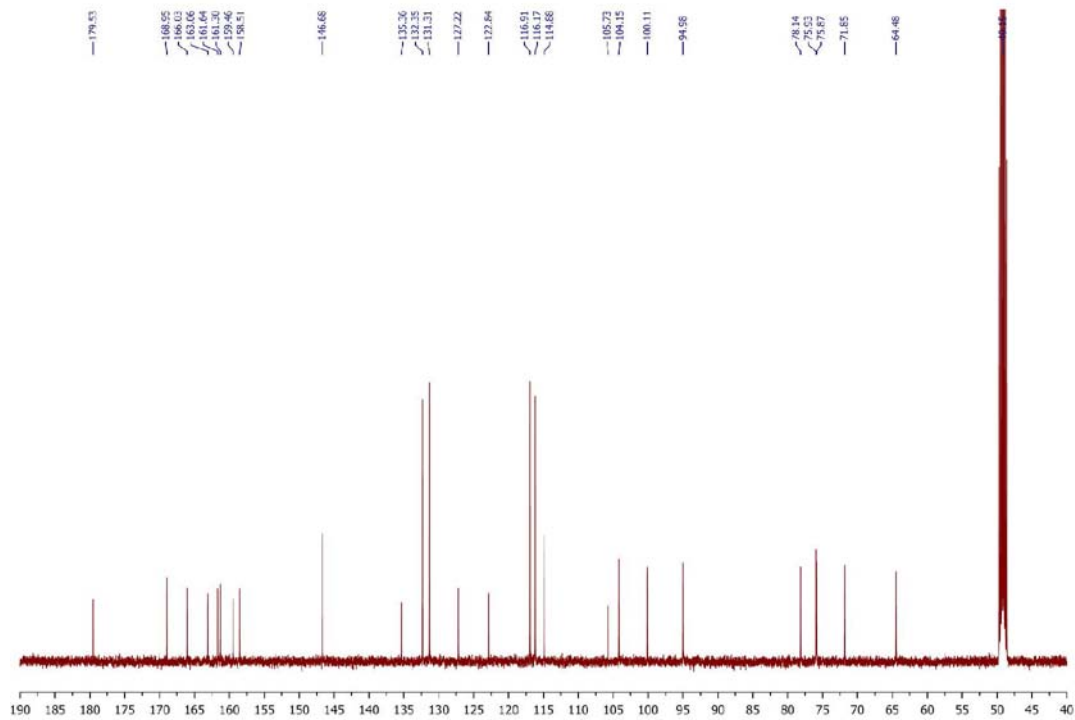


Figura 14S. Espectro de RMN ^{13}C (125 MHz, CD_3OD) de **6**

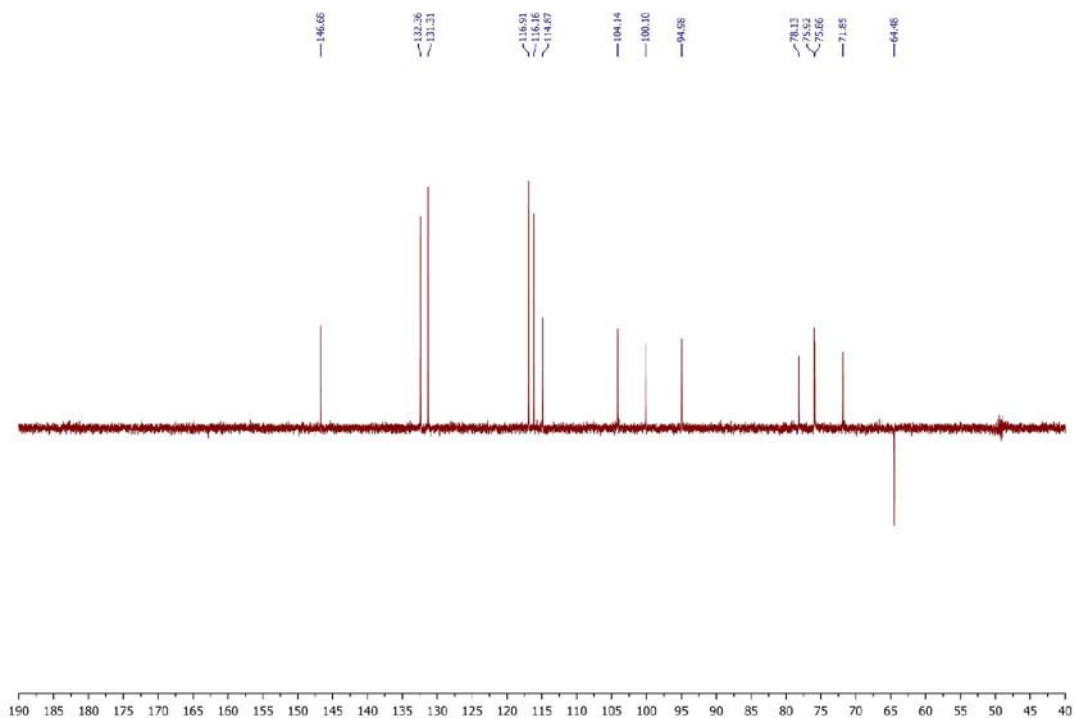


Figura 15S. Espectro de RMN ^{13}C -DEPT 135 (125 MHz, CD_3OD) de **6**

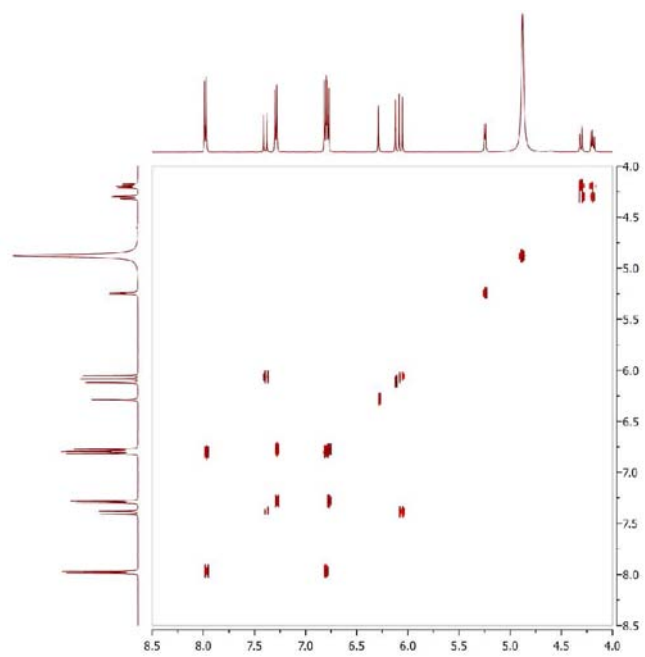


Figura 16S. Espectro de COSY (500 MHz, CD_3OD) de **6**

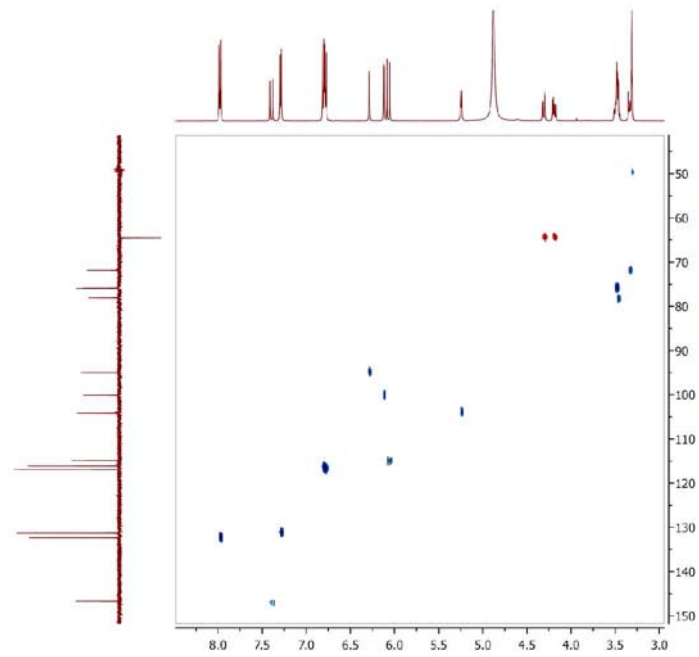


Figura 17S. Espectro de HSQC (500/125 MHz, CD₃OD) de 6

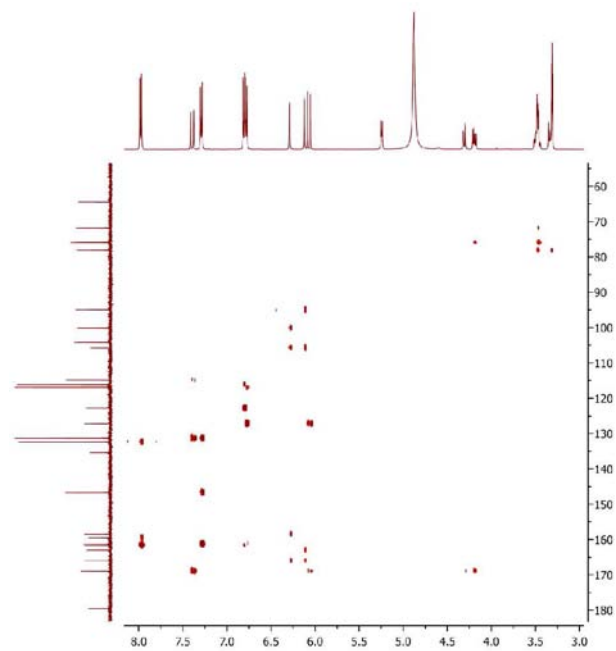


Figura 18S. Espectro de HMBC (500/125 MHz, CD₃OD) de 6

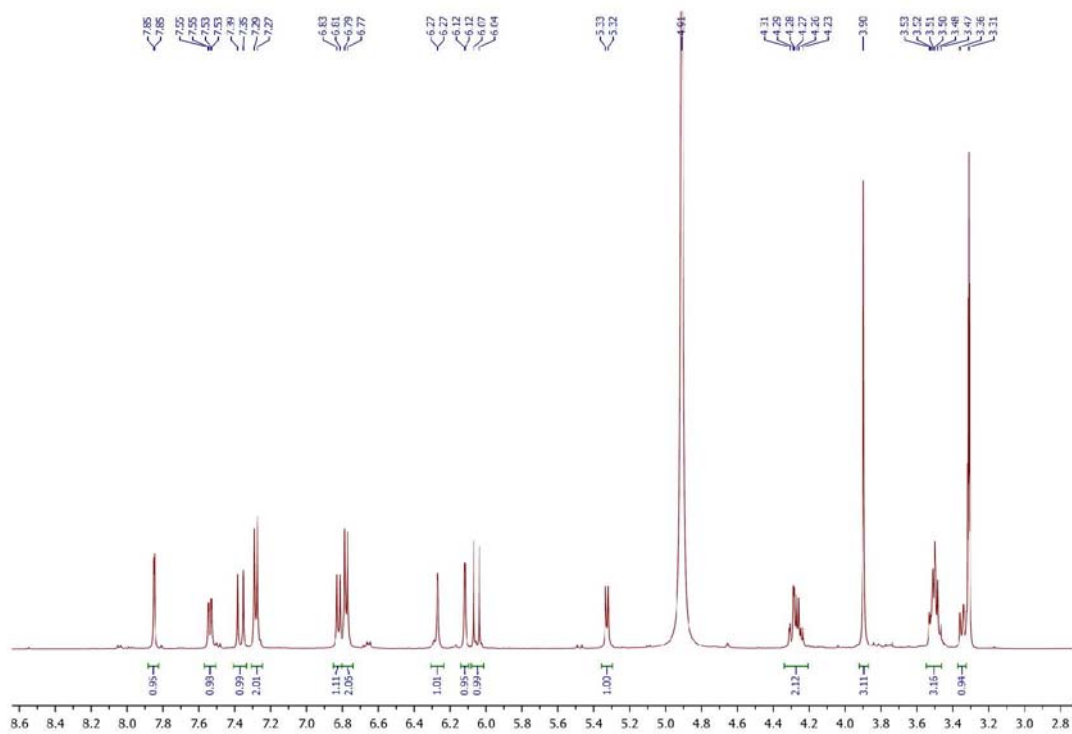


Figura 19S. Espectro de RMN ^1H (500 MHz, CD_3OD) de 7

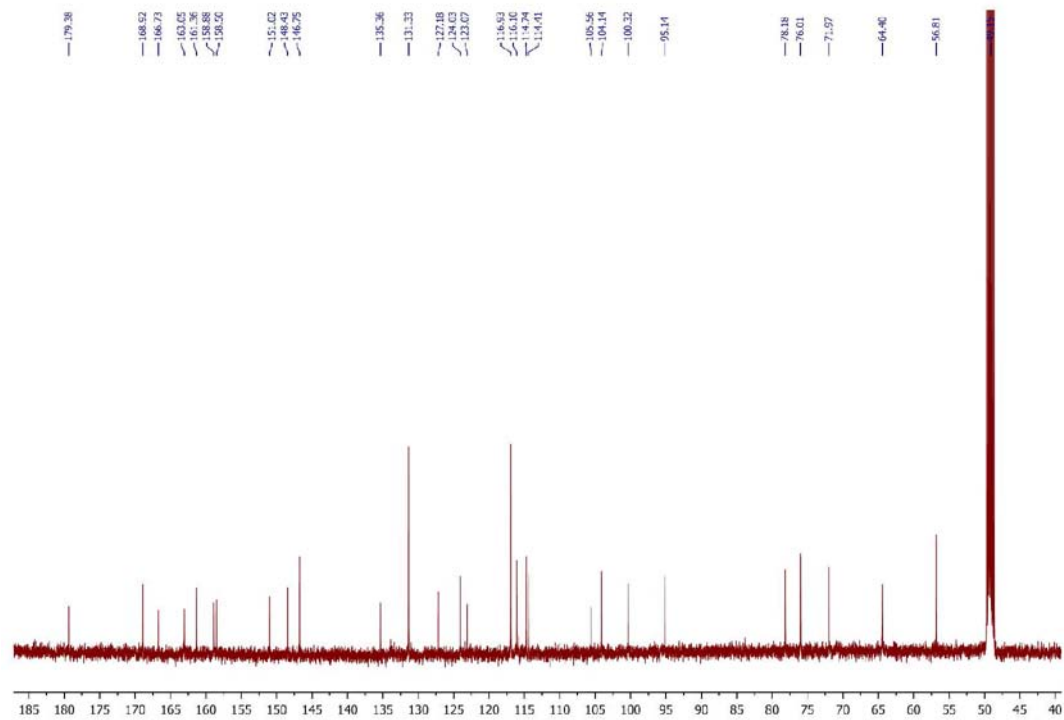


Figura 20S. Espectro de RMN ^{13}C (125 MHz, CD_3OD) de 7

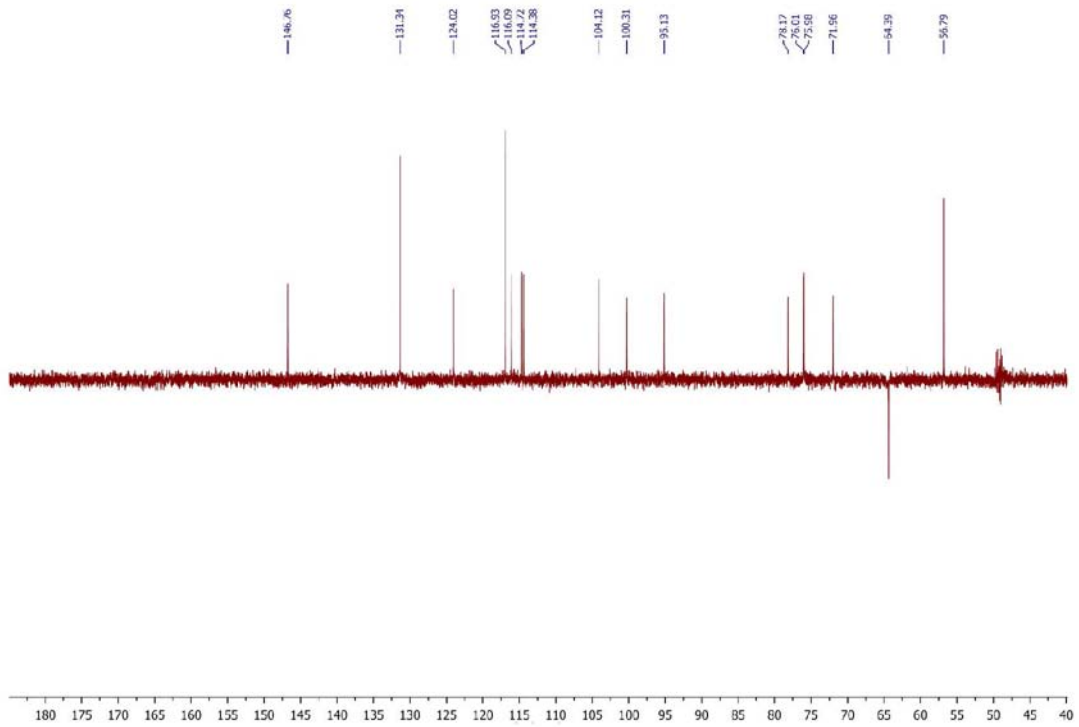


Figura 21S. Espectro de RMN ^{13}C -DEPT 135 (125 MHz, CD_3OD) de 7

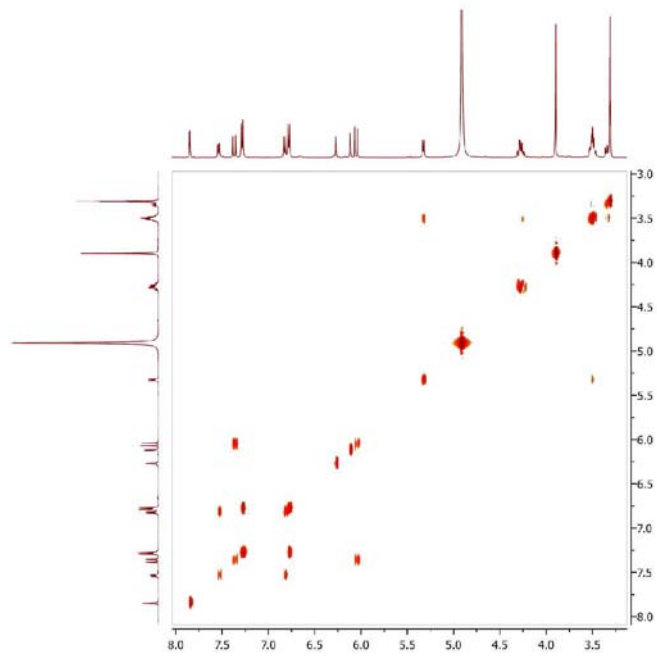


Figura 22S. Espectro de COSY (500 MHz, CD_3OD) de 7

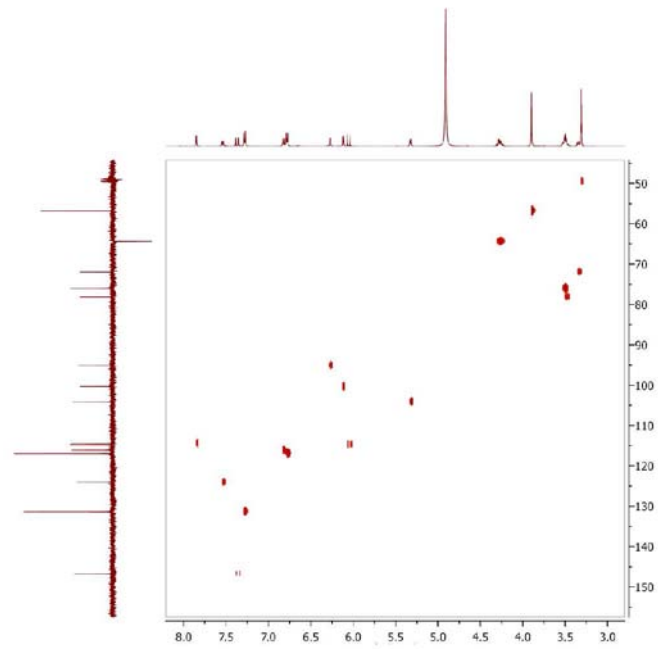


Figura 23S. Espectro de HSQC (500/125 MHz, CD₃OD) de 7

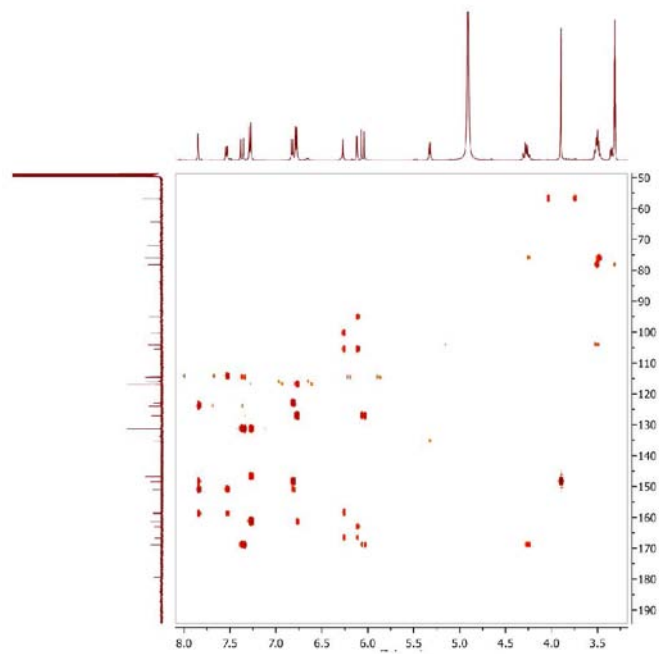


Figura 24S. Espectro de HMBC (500/125 MHz, CD₃OD) de 7

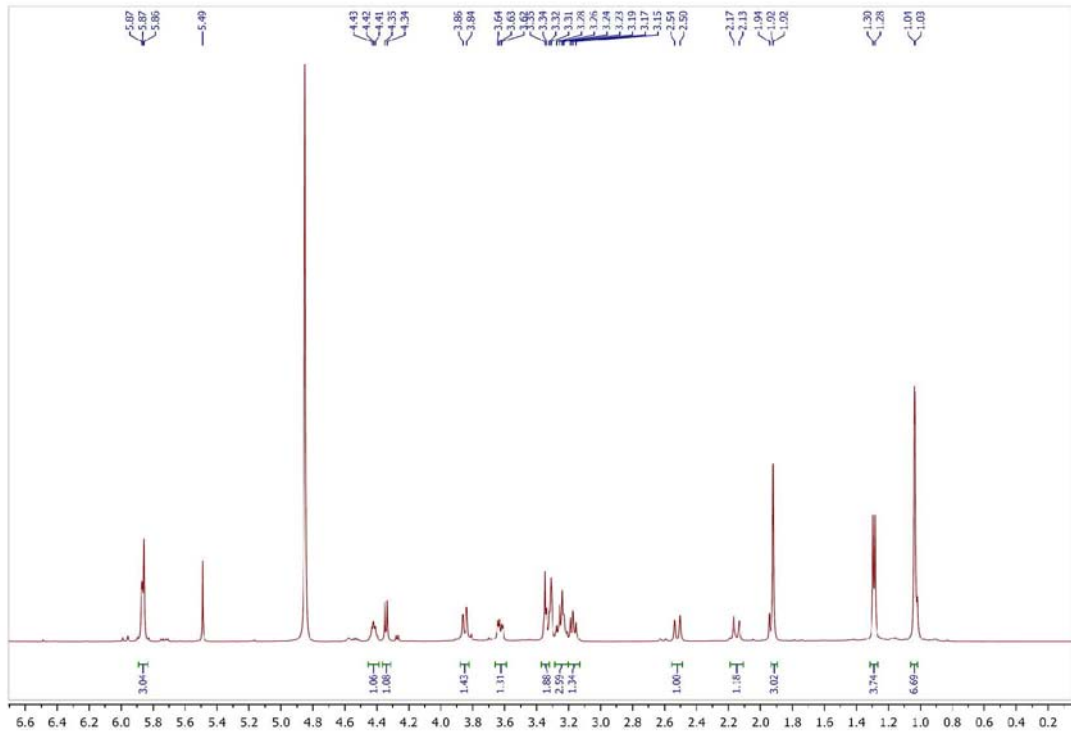


Figura 25S. Espectro de RMN ^1H (500 MHz, CD_3OD) de **9**

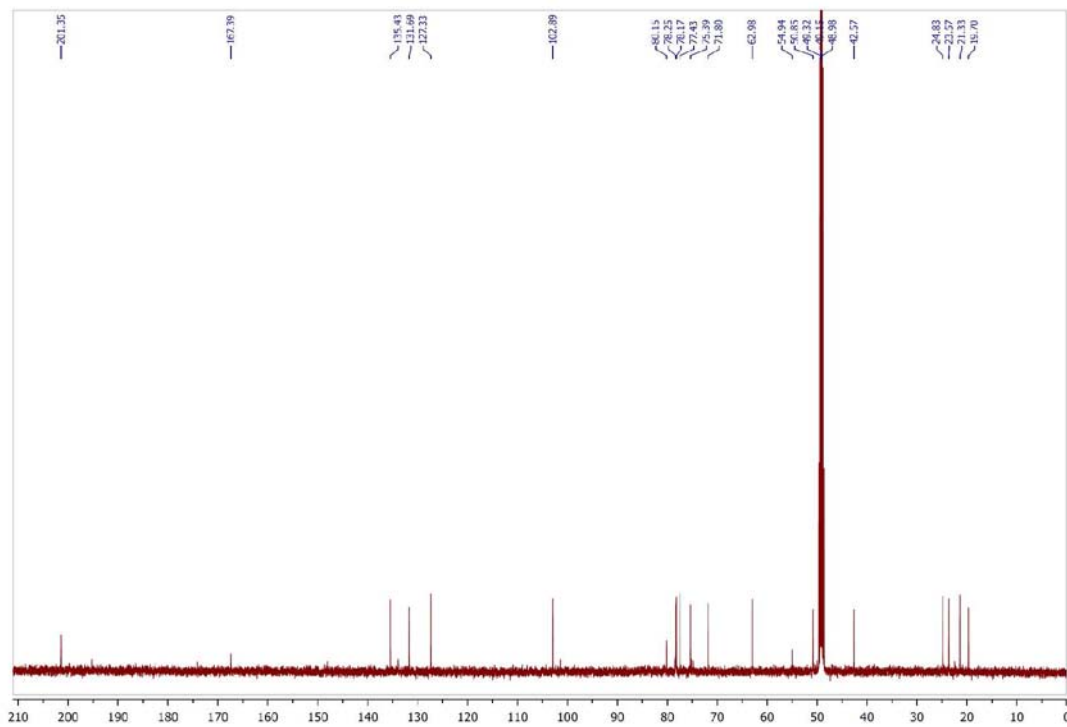


Figura 26S. Espectro de RMN ^{13}C (125 MHz, CD_3OD) de **9**

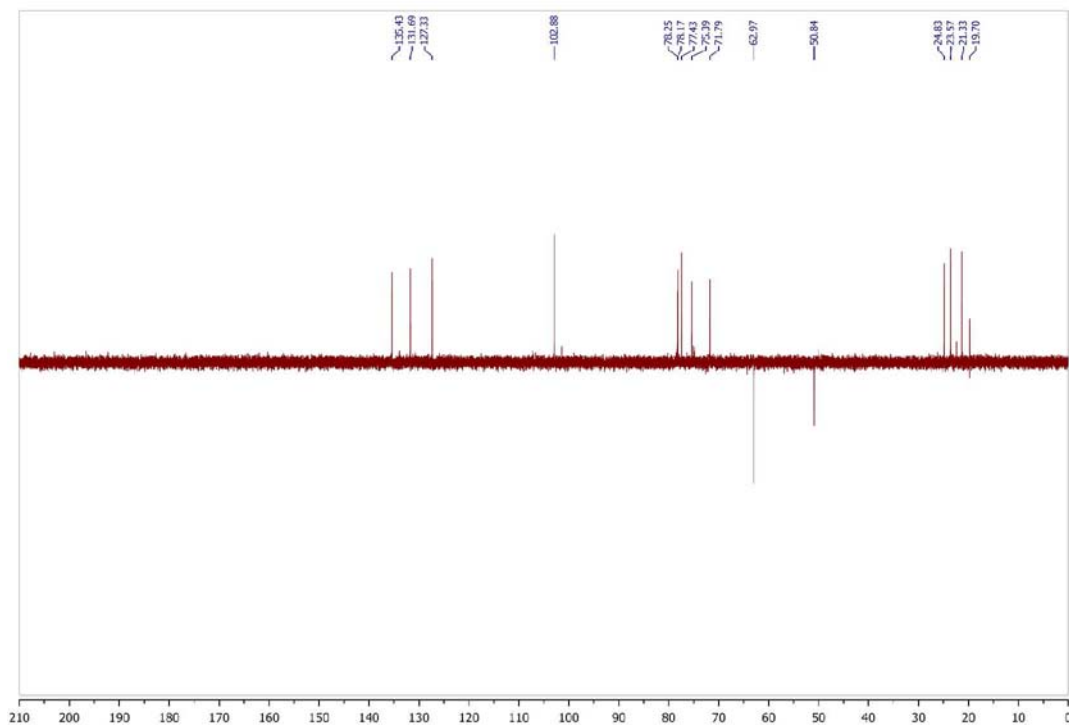


Figura 27S. Espectro de RMN ^{13}C -DEPT 135 (125 MHz, CD_3OD) de **9**

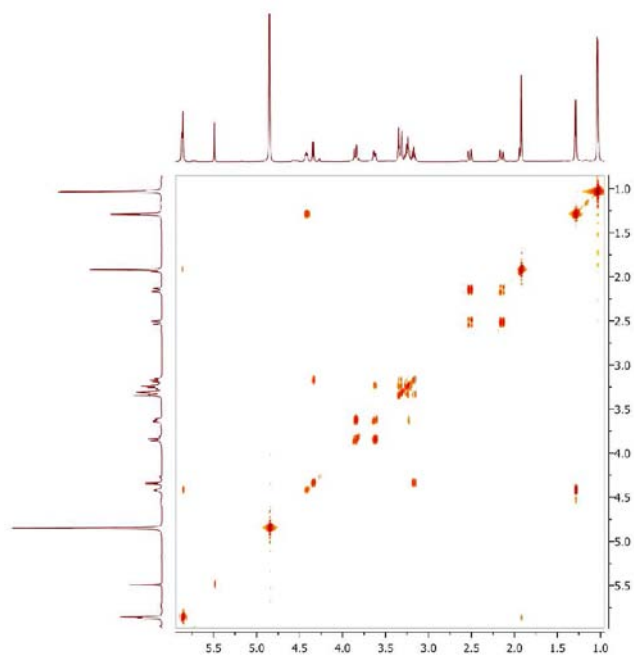


Figura 28S. Espectro de COSY (500 MHz, CD_3OD) de **9**

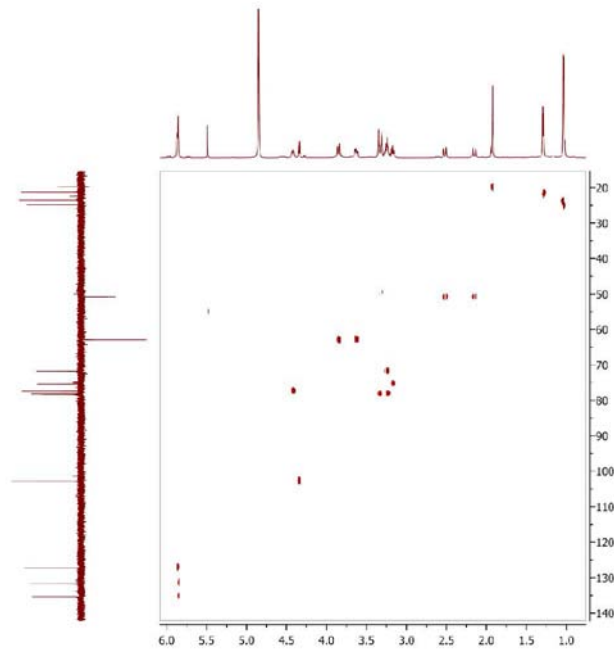


Figura 29S. Espectro de HSQC (500/125 MHz, CD₃OD) de 9

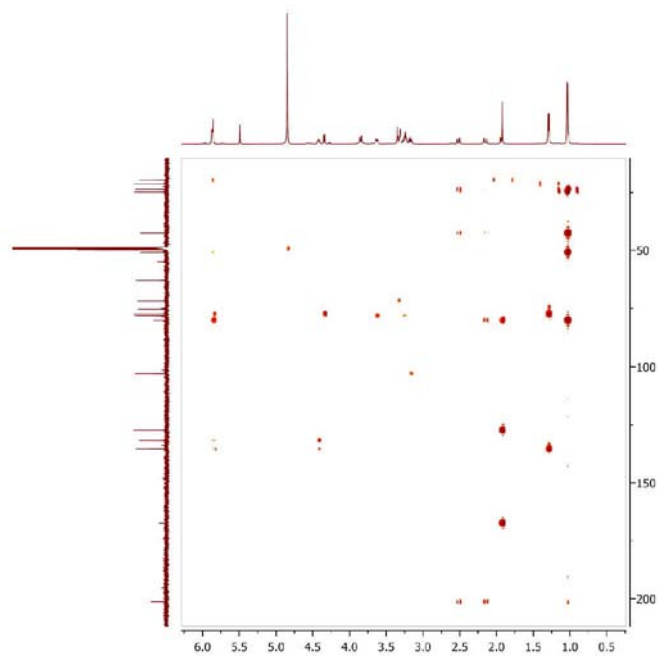


Figura 30S. Espectro de HMBC (500/125 MHz, CD₃OD) de 9